

تهیه نانوچندسازه کیتوسان- فولیک اسید / Fe_3O_4 از پوسته میگو و بررسی اثر پادباکتریایی آن بر اشرشیاکلی و استافیلوکوکوس اورئوس

ژولیت اردوخانیان^{۱*}، شهلا مظفری^۱، نرگس عجمی^۲ و شیما نهال^۳

۱. استادیار شیمی تجزیه، گروه شیمی، دانشکده علوم پایه، دانشگاه پیام نور، تهران، ایران.

۲. دانشیار شیمی فیزیک، گروه شیمی، دانشکده علوم پایه، دانشگاه پیام نور، تهران، ایران.

۳. دانشجوی کارشناسی ارشد شیمی تجزیه، گروه شیمی، دانشکده علوم پایه، دانشگاه پیام نور، تهران، ایران.

دریافت: دی ۹۹ بازنگری: اسفند ۹۹ پذیرش: فروردین ۱۴۰۰



10.30495/JACR.2022.688736



20.1001.1.17359937.1400.15.4.8.9

چکیده

در این پژوهش با تهیه کیتوسان از پوسته میگو که کم هزینه و در دسترس است، نانوچندسازه تخریب‌پذیر و زیست‌سازگار از کیتوسان عامل‌دار شده با فولیک اسید با افزودن نانوذره‌های Fe_3O_4 به دست آمد. ابتدا با افزودن فولیک اسید در محیط اسیدی به کیتوسان تهیه شده، به کمک دستگاه همزن فراصوت، مشتق کیتوسان- فولیک اسید به دست آمد. سپس، با افزودن آن به محلول نانوذره‌های Fe_3O_4 تهیه شده از محلول نمک‌های آهن (II) و آهن (III) به روش هم‌رسوبی، نانوچندسازه کیتوسان- فولیک اسید / Fe_3O_4 تهیه شد که خواص ویژه پادباکتریایی بر برخی ریزاندامگان‌های بیماری‌زا دارد. ویژگی‌های نانوچندسازه تهیه شده با روش‌های طیف‌سنجی تبدیل فوریه فروسرخ (FTIR)، میکروسکوپی الکترونی پویشی (SEM) و پراش پرتو ایکس (XRD) بررسی شد. نتیجه‌های آزمایش‌های پادباکتریایی نشان دادند هر دو مشتق تهیه شده از کیتوسان در غلظت $200 \mu\text{g/ml}$ می‌توانند از رشد باکتری گرم منفی اشرشیاکلی و گرم مثبت استافیلوکوکوس اورئوس جلوگیری کنند.

واژه‌های کلیدی: نانوچندسازه، کیتوسان، فولیک اسید، Fe_3O_4 ، پوسته میگو، خواص پادباکتریایی

مقدمه

در سال‌های اخیر، تهیه نانوچندسازه‌های بسیاری موجب بهبود ویژگی نانوچندسازه‌ها به دلیل ویژگی مکانیکی از نظر ارتجاعی، استحکام و سختی، پایداری، راسانایی الکتریکی و مقاومت در برابر گرما و رطوبت شده‌اند. بسیاری از صنایع طبیعی زیست‌سازگار، تخریب‌پذیر و غیرسمی در زمینه پزشکی برای تشخیص و درمان بیماری‌ها، دارورسانی هدفمند و تولید مواد با ویژگی پادباکتریایی، در زمینه‌های متفاوت صنایع مانند بسته‌بندی مواد غذایی و در کشاورزی برای حفاظت گیاهان بسیار مورد توجه قرار گرفته‌اند [۱]. گرایش به استفاده از مواد زیست‌تخریب‌پذیر به دست آمده از پلی‌ساکاریدها، کربوهیدرات‌ها و پروتئین‌ها، گسترش یافته است. نشاسته [۲]، پکتین [۳]، کربوکسی‌متیل سلولز [۴] و کیتوسان [۵ و ۶] از مواد بسیاری هستند که با هزینه کم قابل استفاده‌اند. با رشد روزافزون نانو فناوری، استفاده از نانوذره‌ها در تهیه نانوچندسازه‌های بسیاری به دلیل ویژگی‌های بی‌هم‌نای آن‌ها مانند نسبت سطح به حجم زیاد، توانایی جذب سطحی بالا و کاربرد به‌عنوان حامل‌ها رو به افزایش است. استفاده از بسپارها همراه با نانومواد، ابعاد جدیدی را در مهندسی پزشکی در زمینه مهندسی بافت، نانوایمپلنت‌ها و صنایع بسته‌بندی مواد غذایی ایجاد کرده است [۷]. افزودن نانوذره‌های نقره، روی اکسید، تیتانیوم اکسید [۴ و ۸] به زیست‌بسپارها موجب تحول بزرگی در تهیه فیلم‌هایی با ویژگی موثر پادباکتریایی و استفاده در صنایع بسته‌بندی شده است. تهیه نانوچندسازه برپایه پروتئین کشک حاوی نانوذره‌های مس اکسید ویژگی آپاداکسیدانی و پادباکتریایی بالایی در برابر ریزاندامگان‌های بیماری‌زا نشان داده است [۹]. نانوذره‌های مغناطیسی آهن اکسید یک عامل پادمیکروبی و غیرسمی است که کاربردهای وسیعی در زیست‌پزشکی پیدا کرده است [۱۰]، ولی تجمع و کلوخه‌ای شدن مانع اثر مطلوب آن می‌شود و نیاز است که از

پایدارکننده‌ها و ترکیب‌های ماده سطح‌فعال در روش تهیه شیمیایی استفاده شود [۱۱]. تشکیل نانوچندسازه‌های بسپارهای طبیعی با نانوذره‌های مغناطیسی یک روش مناسب برای جلوگیری از تجمع و کلوخه‌ای شدن نانوذره‌ها فراهم می‌کند [۱۲]. پیرسا و همکارانش با افزودن نانوذره‌های مغناطیسی Fe_3O_4 به هیدروژل گلوتن توانسته‌اند آلایندگی‌های آلی و معدنی یون‌های فلزهای سنگین را از آب و پساب حذف کنند [۹، ۱۳ و ۱۴]. حذف ریزاندامگان‌ها از فرایندهای زیستی برای بازیابی فراورده‌ها بسیار اهمیت دارد. کیتوسان یک زیست‌بسپار غیرسمی طبیعی است که از استیل‌زدایی کیتین به دست می‌آید و به دلیل فعالیت پادمیکروبی و پادقارچی مورد توجه زیادی قرار گرفته‌است. فعالیت پادمیکروبی کیتوسان به‌عوامل‌های متفاوتی مانند نوع کیتوسان، درجه استیل‌زدایی، وزن مولکولی، pH محیط و دما بستگی دارد [۱۵ و ۱۶].

پیرسا و همکارانش (۲۰۲۰) با نانوچندسازه‌های طبیعی برپایه کیتوسان، پوست انار و اسانس گیاه بادنجنیویه، فیلمی با کاهش نفوذپذیری بخار آب و ویژگی پادباکتریایی بالا تهیه کردند [۱۷]. دامونت و همکارانش (۲۰۱۸) الیاف کلسیم آلژینات/کیتوسان را تهیه و ویژگی‌های پادمیکروبی آن را برای تهیه پانسمان زخم با ویژگی خونسازی و درمانی آلژینات همراه با ویژگی پادمیکروبی کیتوسان برای مقابله با عفونت‌های بیمارستانی بررسی کردند [۱۸]. ساتیا و همکارانش (۲۰۱۶) نانوچندسازه‌های کیتوسان / روی اکسید را با روش شیمیایی مرطوب تهیه و مقاومت باکتریایی آن را نسبت به باکتری اش‌ریشیاکلی بررسی کردند [۱۹].

اثرات پادزیستی فولیک اسید [۲۰] و کاربردش در دارورسانی برای درمان بیماری‌های سرطان، موجب توجه به اهمیت افزودن این گروه عاملی به بسپارهای طبیعی به‌ویژه کیتوسان شده است [۲۱ و ۲۲]. نژاد شفیعی و همکارانش (۲۰۱۹) کاربرد زیست‌نانوچندسازه با ساختار نانوذره‌های

تهیه نانوجندسازه کیتوسان-فولیک اسید/ Fe_3O_4 از پوسته میگو

ابتدا، کیتوسان طی سه مرحله شامل جداسازی مواد معدنی، جداسازی مواد پروتئینی و استیل‌زدایی ۷۶٪ از پوسته میگو تهیه شد. در مرحله دوم، کیتوسان مزدوج با فولیک اسید تهیه شد. برای این کار، ۱۰۰ میلی‌گرم کیتوسان تهیه‌شده در ۱۰ میلی‌لیتر محلول استیک اسید ۰/۱ مولار حل و pH آن به ۵ رسانده شد. سپس ۰/۱۳ میلی‌مول فولیک اسید در ۱۰ میلی‌لیتر محلول بافر تریس کلریدریک اسید با pH برابر ۷/۴ حل شد. در ادامه با قراردادن همزن فراصوت در محلول، قطره قطره محلول فولیک اسید به آن افزوده شد. محلول به‌دست آمده به مدت ۳۰ دقیقه هم‌زده شد. رسوب به‌دست‌آمده با دستگاه گریزان جدا و پس از شستشو با آب یون‌زدوده در دمای محیط قرارداده شد تا خشک شود. برای تهیه نانوجندسازه کیتوسان- فولیک اسید/ Fe_3O_4 ، ۱۰۰ میلی‌گرم از کیتوسان- فولیک اسید در ۵۰ میلی‌لیتر محلول استیک اسید ۰/۱ مولار حل شد. مقدار ۰/۸ میلی‌مول آهن (II) کلرید و ۰/۹۹ میلی‌مول آهن (III) کلرید در ۵۰ میلی‌لیتر آب یون‌زدوده حل و به محلول پیشین افزوده شد و ۱۵ دقیقه با همزن فراصوت هم‌زده شد. سپس به محلول به‌دست آمده، قطره قطره محلول آمونیاک ۲۵٪ افزوده شد تا رنگ محلول به‌طور کامل سیاه شود و pH آن به حدود ۹ برسد. رسوب به‌دست آمده پس از شستشو با آب یون‌زدوده در دمای محیط قرارداده شد تا خشک شود. در شکل ۱ عکس پوسته میگو و فراورده‌های متفاوت تهیه‌شده از آن شامل کیتوسان، کیتوسان- فولیک اسید و نانوجندسازه کیتوسان- فولیک اسید/ Fe_3O_4 نشان داده شده است.

مغناطیسی Fe_3O_4 -آمین دار با پوششی از کیتوسان جفت‌شده با فولیک اسید را در دارورسانی هدفمند فلوروراسیل برای درمان سرطان، بدون عوارض جانبی دارو، گزارش کردند [۲۳]. مشتق‌های کیتوسان- فولیک اسید با نانوذره-های ZnS [۲۴] و الیگوساکارید کیتوسان- فولیک اسید با نانولوله‌های هالوسایت مغناطیسی‌شده با نانوذره‌های Fe_3O_4 [۲۵] به‌عنوان زیست‌تخریب‌پذیر و غیرسمی در دارورسانی بسیار مورد توجه قرار گرفته‌اند.

بخش تجربی

مواد شیمیایی و دستگاه‌ها

مواد شیمیایی مورداستفاده همه با خلوص بالا (بیش از ۹۹٪) از شرکت مرک آلمان تهیه شدند. باکتری‌های اشرشیاکلی و استافیلوکوکوس اورئوس از انستیتو پاستور تهران و صفحه‌های پادزیست جنتامایسین ۱۰ میکروگرم و صفحه خام از شرکت پادتن طب تهیه شدند. پوسته میگو از فروشگاه‌های پروتئین در سطح شهر تهران خریداری شد. از همزن فراصوت دیجیتالی مدل UW 3200 شرکت باندلین (آلمان)، دستگاه گریزان مدل Sigma 2-15 شرکت سیگما (آلمان)، دستگاه دم‌فشار^۱ مدل SX-700E شرکت تامی (ژاپن)، دستگاه گرم‌خانه مدل INB 500 شرکت ممرت (آلمان)، pH‌متر مدل 827 شرکت متراهم (سوئیس)، طیف-سنج فروسرخ تبدیل فوریه (FTIR) مدل Vector 22 شرکت بروکر (آلمان)، میکروسکوپ الکترونی پویشی (SEM) مدل DSM-960A شرکت زیس (آلمان)، دستگاه پراش پرتو ایکس (XRD) مدل 6000 شرکت شیمادزو (ژاپن) استفاده شدند.

تهیه نانوجندسازه کیتوسان- فولیک اسید / Fe_3O_4 از پوسته میگو و ...

(۴۰۰) از سه فراورده کیتوسان، کیتوسان جفت شده با فولیک اسید و نانوجندسازه کیتوسان- فولیک اسید / Fe_3O_4 تهیه شده به همراه صفحه‌های استاندارد پادزیست بر محیط کشت گذاشته شدند و پس از ۲۴ ساعت نگهداری در دمای $37^\circ C$ در گرم‌خانه، هاله عدم رشد با خط کش اندازه‌گیری شد.

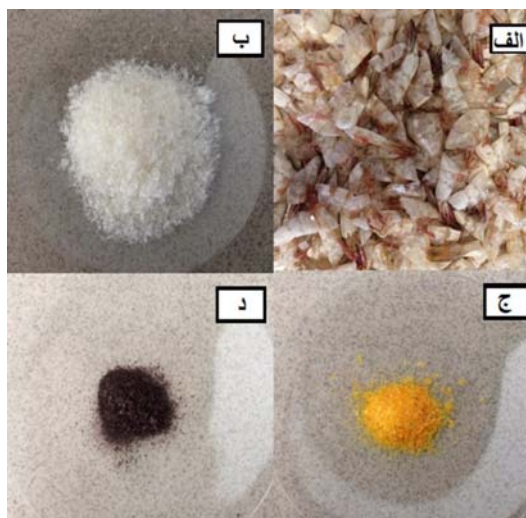
نتیجه‌ها و بحث

برای تایید ساختار شیمیایی کیتوسان تهیه شده و تعیین درجه استیل‌زدایی آن، روش FTIR به کار گرفته شد. در طیف FTIR کیتوسان تهیه شده (شکل ۲-الف)، نوارهای مربوط به ارتعاش‌های کششی O-H و H-N در 3420 تا 3450 cm^{-1} ، ارتعاش‌های کششی C=O و NH_2 در 1640 تا 1660 cm^{-1} ، ارتعاش کششی نامتقارن C-O اتری در 1180 cm^{-1} و ارتعاش کششی O-C الکلی در 1100 cm^{-1} مشاهده می‌شوند [۲۶].

به کمک شدت نوارهای مشاهده شده در 1660 cm^{-1} و 3450 برای تعیین درجه استیل‌زدایی کیتوسان، معادله ۱ به کار گرفته شد.

$$DD=100-(A1660/A3450)/1.33 \times 100 \quad (1)$$

نوار مشاهده شده در 1660 cm^{-1} مربوط به گروه کربونیل (گروه استیل) است که پس از آب‌کافت و حذف گروه استیل (تشکیل کیتوسان) به سمت حذف گروه کربونیل پیش می‌رود [۲۷]. برپایه محاسبه‌ها، درصد استیل‌زدایی کیتین و تشکیل کیتوسان، ۷۶٪ به دست آمد. در طیف FTIR کیتوسان- فولیک اسید (شکل ۲-ب) همه نوارهای موجود در طیف کیتوسان به جز نوار 2900 cm^{-1} مشاهده شده است. عدم حضور این نوار را می‌توان به پیوند فولیک اسید به کیتوسان نسبت داد. با توجه به ساختار فولیک اسید می‌توان نوارهای ارتعاشی ناشی از وجود پیوندهای موجود در فولیک اسید را مشاهده کرد.



شکل ۱ عکس پوسته میگو (الف) و فراورده‌های متفاوت تهیه شده از آن شامل کیتوسان (ب)، کیتوسان- فولیک اسید (ج) و نانوجندسازه کیتوسان- فولیک اسید / Fe_3O_4 (د)

بررسی ویژگی پادباکتریایی

برای بررسی ویژگی پادباکتریایی و تعیین کمینه غلظت بازدارندگی باکتریایی (MIC^1) کیتوسان، کیتوسان- فولیک اسید و نانوجندسازه کیتوسان- فولیک اسید / Fe_3O_4 تهیه شده از روش پخش صفحه‌ای^۲ استفاده شد. ابتدا ۱۹ گرم از محیط کشت مولر هینتون آگار در ۵۰۰ میلی‌لیتر آب یون‌زدوده حل و بر صفحه داغ گرمادهی شد تا محلول شفاف به دست آمد. سپس محلول به مدت ۹۰ دقیقه در دم‌فشار قرارداده شد تا سترون شود. در آخر محلول در سینی‌های سترون ریخته شد و به مدت ۲۴ ساعت در یخچال قرارداده شد. در مرحله بعد، از محلول باکتری فعال شده با رقت معادل نیم مک فارلند^۳ در محلول سرم کاراندام‌شناختی^۴ با سواب سترون به‌طور زیگزاگ در محیط کشت مولر هینتون آگار به‌صورت چمنی کشت داده شد. سپس صفحه‌های خام آغشته به غلظت‌های متفاوت (۲۵، ۵۰، ۱۰۰، ۲۰۰ و $\mu g/ml$)

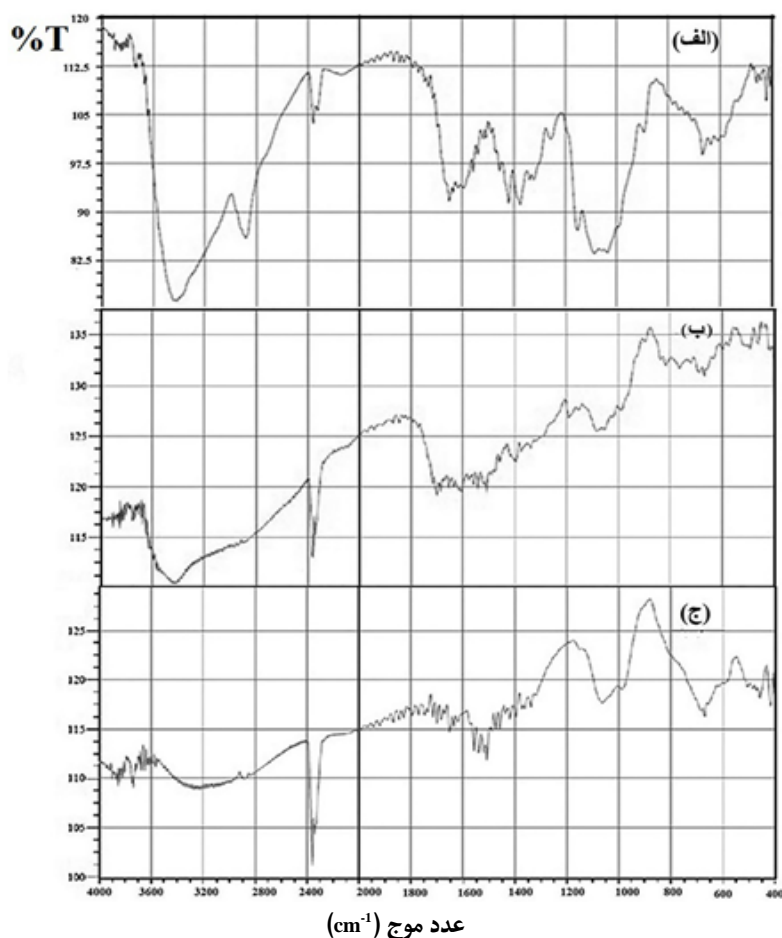
1. Minimum Inhibitory Concentration (MIC)

2. Disk Diffusion

موجود در حدود 500 cm^{-1} مربوط به پیوند Fe-O تاییدی بر حضور Fe_3O_4 در ساختار نانوجندسازه است.

در الگوی XRD کیتوسان تهیه شده (شکل ۳-الف) دو پیک مشخصه کیتوسان در زوایای 2θ ، برابر با 10° و 20° دیده می‌شوند. پهن بودن آن‌ها دلیل بر تشکیل ذره‌های ریز و آمورف است که به دلیل وجود پیوند هیدروژنی بین مولکولی است و نشان می‌دهد که کیتین استخراج شده به شکل آلفا است [۲۹].

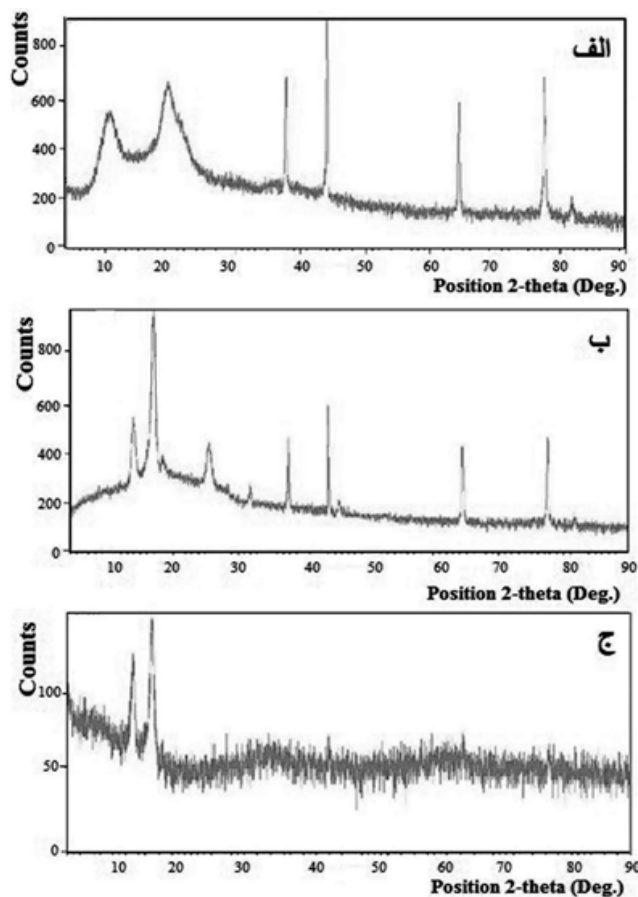
نوار مربوط به حلقه فنیل در 1500 cm^{-1} و نوارهای مربوط به ارتعاش‌های NH و C=C آروماتیک، C=N و C=O آمیدی در حدود $1650\text{--}1600\text{ cm}^{-1}$ ، C=O کربوکسیلیک در 1700 cm^{-1} و OH - کربوکسیلیک و NH حلقه در گستره 3100 تا 3500 cm^{-1} قابل تشخیص هستند [۲۸]. همه نوارهای مشاهده شده در طیف FTIR کیتوسان و کیتوسان-فولیک اسید در طیف نانوجندسازه کیتوسان-فولیک اسید/ Fe_3O_4 (شکل ۲-ج) مشاهده شده است. افزون بر آن، نوار



شکل ۲ طیف‌های FTIR کیتوسان (الف)، ب- کیتوسان- فولیک اسید (ب) و نانوجندسازه کیتوسان- فولیک اسید/ Fe_3O_4 (ج)

شکل ۳-ج، الگوی XRD نانوجندسازه کیتوسان- فولیک اسید / Fe_3O_4 نشان داده شده است. وجود پیک‌های یکسان با کیتوسان- فولیک اسید به صورت تضعیف شده، بیانگر پیوند آن به سطح Fe_3O_4 است. به علاوه پیک‌های با شدت بالاتر در زوایای 2θ برابر با 35.5° مربوط به پراش صفحه (۳۱۱) و 63° به صفحه (۴۴۰) Fe_3O_4 با کارت استاندارد-19 (JCPDS: 0629) همخوانی کامل دارد.

در شکل ۳-الف، پیک‌های تیز همراه دو پیک اصلی کیتوسان مربوط به باقی‌مانده سدیم هیدروکسید در کیتوسان است که در مرحله تولید به غلظت زیاد (۵۰٪) استفاده شده است. با وجود شستشوی فرآورده، آثارش در کیتوسان باقی مانده است. در شکل ۳-ب، الگوی XRD کیتوسان- فولیک اسید نشان داده شده است. هر دو پیک مشخصه کیتوسان به دلیل ایجاد پیوند با فولیک اسید به تقریب حذف شده‌اند. در



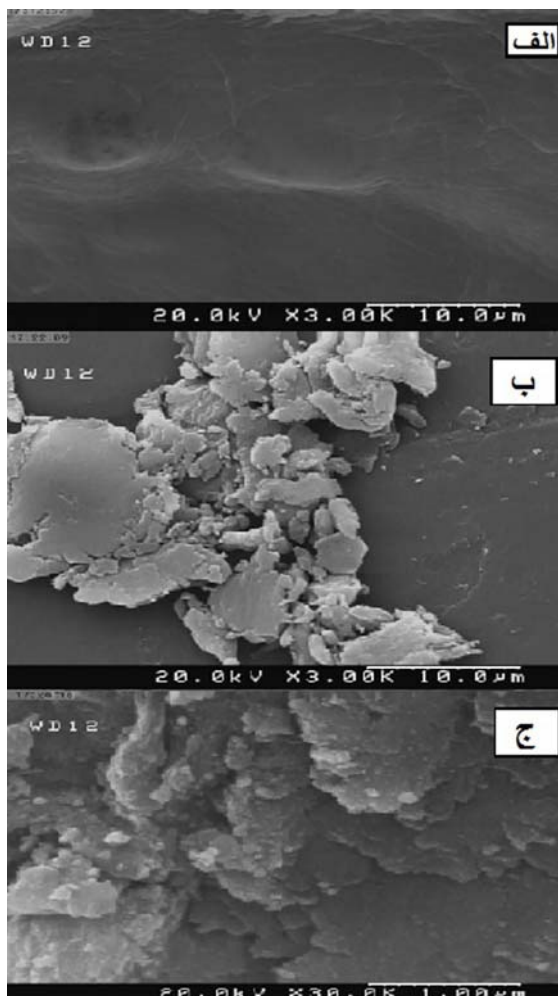
شکل ۳ الگوهای XRD کیتوسان (الف)، کیتوسان- فولیک اسید (ب) و نانوجندسازه کیتوسان- فولیک اسید / Fe_3O_4 (ج)

اسید (شکل ۴-ب)، فولیک اسید بر صفحه‌های لایه‌ای کیتوسان دیده می‌شود. در شکل ۴-ج تصویر SEM

در تصاویر SEM، کیتوسان تهیه شده به صورت صفحه‌های لایه‌ای است (شکل ۴-الف) و در تصویر کیتوسان- فولیک

کیتوسان- فولیک اسید قابل مشاهده هستند.

نانوچندسازه کیتوسان- فولیک اسید/ مگنتیت نشان داده شده است که نانوذره‌های کروی Fe_3O_4 بر صفحه‌های لایه‌ای



شکل ۴ تصویرهای SEM کیتوسان (الف)، کیتوسان- فولیک اسید (ب) و نانوچندسازه کیتوسان- فولیک اسید/ Fe_3O_4 (ج)

نانوچندسازه کیتوسان- فولیک اسید/ Fe_3O_4 بر هر دو باکتری قوی‌تر از کیتوسان- فولیک اسید بود. درحالی‌که اثر آن بر استافیلوکوکوس اورئوس قوی‌تر از اشریشیاکلی بود، ولی در مورد کیتوسان در این غلظت اثر پادباکتریایی مشاهده نشد. در نتیجه حضور دو جز فولیک اسید و مگنتیت در ساختار

نتیجه‌های بررسی ویژگی پادباکتریایی سه نمونه کیتوسان، کیتوسان- فولیک اسید و نانوچندسازه کیتوسان- فولیک اسید/ Fe_3O_4 تهیه‌شده نسبت به باکتری اشریشیاکلی (گرم منفی) و استافیلوکوکوس اورئوس (گرم مثبت) در جدول ۱ آورده شده‌اند. در غلظت $200 \mu\text{g/ml}$ ویژگی پادباکتریایی

ویژگی پادباکتریایی کیتوسان به روش MIC در غلظت $1200 \mu\text{g/ml}$ گزارش شده است [۱۶]. نانوذره‌های مغناطیسی Fe_3O_4 هم عملکرد مشابهی دارند، ولی افزون بر غلظت، اندازه بسیار ریز نانوذره‌ها، نوع و ماهیت عوامل پوشاننده در فعالیت پادمیکروبی موثر هستند. ویژگی پادباکتریایی نانوذره‌های Fe_3O_4 زیست‌تهیه‌شده با جلبک‌های سبز با اندازه ذره‌های $9/8$ نانومتر در غلظت 10 mg/ml گزارش شده است [۱۱].

نتیجه‌گیری

نتیجه‌های این پژوهش نشان دادند، تهیه کیتوسان از پوسته میگو به کمک روشی کم‌هزینه از واکنش شیمیایی پوسته میگو امکان‌پذیر است و کیتوسان با استیل‌زدایی ۷۶٪ به‌دست آمد. کیتوسان تهیه شده در دستگاه فراصوت با فولیک اسید واکنش داد و کیتوسان-فولیک اسید به‌دست آمد. طی واکنش هم‌رسوبی شیمیایی از نمک‌های آهن (II) و آهن (III) با محلول آمونیاک در حضور کیتوسان-فولیک اسید، نانوجندسازه کیتوسان-فولیک اسید / Fe_3O_4 به‌طور موفقیت آمیز تهیه شد. آزمون پادباکتریایی نشان داد هر دو ترکیب تهیه شده از کیتوسان می‌توانند از رشد باکتری گرم منفی اشرشیاکلی و گرم مثبت استافیلوکوکوس اورئوس در غلظت $200 \mu\text{g/ml}$ جلوگیری کنند.

نانوجندسازه موجب هم افزایی و تشدید ویژگی پادباکتریایی شده است.

جدول ۱ قطر هاله عدم رشد اندازه‌گیری شده

| نمونه | قطر هاله عدم رشد* (mm) | |
|---|---------------------------|----------------------|
| | اشرشیاکلی | استافیلوکوکوس اورئوس |
| نانوجندسازه کیتوسان-فولیک اسید/ Fe_3O_4 | 10 ± 0.6 | 12 ± 0.6 |
| کیتوسان مزدوج با فولیک اسید | 7 ± 0.4 | 9 ± 0.6 |
| کیتوسان | ۰ | ۰ |
| جنتامایسین | 17 ± 0.5 | 14 ± 0.6 |

* میانگین سه بار تکرار

سازوکار ویژگی پادباکتریایی نمونه‌ها را به واکنش یونی بین گروه‌های کاتیونی (پروتئین‌دهندگی گروه‌های آمینو) و گروه‌های آنیونی غشاء سلولی باکتری نسبت می‌دهند که این واکنش با تخریب دیواره سلولی و تخریب DNA و پروتئین موجب مرگ سلول می‌شود [۳۰ تا ۳۲]. پیوند فولیک اسید به کیتوسان از راه گروه کربوکسیلیک اسید در فولیک اسید با گروه آمینی در کیتوسان صورت می‌گیرد، ولی وجود گروه‌های آمینی در ساختار فولیک اسید، این کاهش را جبران کرده و موجب تشدید ویژگی پادباکتریایی کیتوسان-فولیک اسید نسبت به کیتوسان می‌شود.

مراجع

- [1] Divya, K.; Jisha, M.S.; Environ, Chem. Lett. 16, 101-112, 2018.
- [2] Pirs, S.; Mohtarami, F.; Kalantari, S.; Chem. Rev. Lett. 3, 98-106, 2020.
- [3] Pirs, S.; Int. J. Biol. Macromol. 163, 666-675, 2020.
- [4] Pirs, S.; Farshchi, E.; Roufegarnejad, L.; J. Polym. Environ. 28, 3154-3163, 2020.
- [5] Giannakas, A.; Pissanou, M.; S.F.J. Nanochem. Nanotechnol. 1, 1-17, 2018.
- [6] Mohammadi, B.; Pirs, S.; Alizadeh, M.; Polym. Polym. Compos. 27, 507-517, 2019.

- [7] George, A.; Shah, P.A.; Shrivastav, P.S.; *Int. J. Pharm.* 561, 244-264, 2019.
- [8] Rezaei, M.; Pirsas, S.; Chavoshizadeh, S.; *J. Int. Organomet. Polym. Mater.* 30, 2654-2665, (2020).
- [9] Asdagh, A.; Karimi Sani, I.; Pirsas, S.; Amiri, S.; Shariatifar, N.; Eghbaljoo, H.; Shabahang, Z.; Taniyan, A.; *J. Polym. Environ.* 29, 335-349, 2021.
- [10] Xu, C.; Akakuru, O.U.; Zheng, J.; Wu, A.; *Front. Bioeng. Biotechnol.* 7, 141, 2019.
- [11] Mashjoor, S.; Yousefzadi, M.; *Iran. J. Med. Microbiol.* 12, 208-217, 2018.
- [12] Allafchian, A.; Hosseini, S.S.; *IET Nanobiotechnol.* 13, 786-789, 2019.
- [13] Jahanbakh, A.; Pirsas, S.; Bahram, M.; *Main Group Chem.* 16, 85-94, 2017.
- [14] Pirsas, S.; Asadzadeh, F.; Karimi Sani, I.; *J. Inorg. Organomet. Polym. Mater.* 30, 3188-3198, 2020.
- [15] Chen, S.; Wu, G.; Zeng, H.; *Carbohydr. Polym.* 60, 33-38, 2005.
- [16] Wardani, G.; Mahmiah, M.; Sudjarwo, S.A.; *Pharmacogn. J.* 10, 162-166, 2017.
- [17] Pirsas, S.; Karimi Sani, I.; Pirouzifard, M.K.; Erfani, A.; *Food Addit. Contam. A*, 37, 634-648, 2020.
- [18] Dumont, M.; Villet, R.; Guirand, M.; Montembault, A.; Delair, T.; Lack, S.; Barikosky, M.; Crepet, A.; Alcouffe, P.; Laurent, F.; David, L.; *J. Carbohydr. Polym.* 190, 31-42, 2018.
- [19] Sathiya, S.M.; Okram, G.S.; Maria Dhivya, S.; Manivannan, G.; Jothi Rajan, M.A.M.; *Mater. Today-Proc.* 3, 3855-3860, 2016.
- [20] Zander, J.; Besier, S.; Ackermann, H.; Wichelhaus, T.A.; *Antimicrob. Agents Chemother.* 54, 1226-1231, 2010.
- [21] Chinnaiyan, S.K.; Ramar, T.; Soloman, A.M.; Perumal, R.K.; Gopinath, A.; Balaraman, M.; *Carbohydr. Polym.* 231, 115682, 2020.
- [22] Chanphai, P.; Konka, V.; Tajmir-Riahi, H.A.; *J. Mol. Liq.* 238, 155-159, 2017.
- [23] Nejadshafiee, V.; Naeimi, H.; Goliaei, B.; Bigdeli, B.; Sadighi, A.; Dehghani, S.; Lotfabadi, A.; Hossein, M.; Nezamtaheri, M.S.; Amanlou, M.; Sharifzadeh, M.; Khoobi, M.; *Mater. Sci. Eng. C* 99, 805-835, 2020.
- [24] Bandara, S.; Carnegie, C.; Johnson, C.; Akindoju, F.; Williams, E.; Swaby, J.M.; Oki, A.; Carson, L.E.; *Heliyon* 4(8), PMC6113674, 2018.
- [25] Dramou, P.; Fizir, M.; Taleb, A.; Itatahine, A.; Dahiru, N.S.; Ait Mehdi, Y.; Wei, L.; Zhang, J.; He, H.; *Carbohydr. Polym.* 197, 117-127, 2018.
- [26] Jiang, M.; Wang, K.; Kennedy, J.F.; Nie, J.; Yu, J.; Ma, G.; *Int. J. Biol. Macromol.* 47, 696-699, 2010.
- [27] Pourmorad, F.; Ebrahimzadeh, M.; Honary, S.; Ebrahimee, P.; Orangian, M.; *J. Mazandaran Univ. Med. Sci.* 50, 27-34, 2006.
- [28] He, Y.; Wang, X.; Jin, P.; Zhao, B.; Fan, X.; *Spectrochim. Acta. A-M.* 72, 876-879, 2009.
- [29] Cruz, R.S.; Fook, B.R.; Lima, V.A.; Rached, R.I.; Lima, E.P.; Lima, R.J.; Covas, C.A.; Fook, M.V.; *Mar. Drugs* 15, 141, 2017.
- [30] Arbab Soleimani, N.; Kasra Kermanshahi, R.; Yakhchali, B.; *Iran J. Med. Microbiol. (IJMM)* 10, 34-43, 2017.
- [31] Taheri, A.; Seyfan, A.; Jalalinezhad, S.; *J. Fasa Univ. Med. Sci.* 3, 49-55, 2013.
- [32] Tang, H.; Zhang, P.; Kieft, T.L.; Ryan, S.J.; Baker, S.M.; Wiesmann, W.P.; Rogelj, S.; *Acta. Biomater.* 6, 2562-2571, 2010.